

сообщения  
объединенного  
института  
ядерных  
исследований  
дубна

2684 / 2-84

1/6-81

P3-81-144

Ю.Анджеевски, Ф.Бечварж, Во Ким Тхань,  
В.А.Втюрин, Ю.П.Попов

СТАТИСТИЧЕСКИЙ АНАЛИЗ ВЫХОДА  $\alpha$ -ЧАСТИЦ  
ИЗ РЕАКЦИИ ( $n, \alpha$ )  
НА РЕЗОНАНСНЫХ НЕЙТРОНАХ

## ВВЕДЕНИЕ

В последнее время при исследовании реакции  $(n, \alpha)$  на резонансных нейтронах в широком интервале энергии удалось измерить усредненные по резонансам спектры  $\alpha$ -распада компаунд-ядер на различные конечные состояния дочерних ядер <sup>/1,2,3/</sup>. Это дало возможность сравнить приведенные вероятности  $\alpha$ -переходов на конечные состояния с различной природой, что интересно для проверки справедливости выводов, сделанных на основе современных теоретических представлений об  $\alpha$ -распаде и свойствах высоковозбужденных состояний ядер. Согласно статистической модели ядра, хорошо описывающей основные свойства нейтронных резонансов, природа конечных состояний не должна влиять на эти вероятности  $\alpha$ -распада, т.е. усредненные по исходным состояниям с одинаковыми спинами и четностью приведенные  $\alpha$ -ширины должны быть одинаковы <sup>/4/</sup>. В то же время полумикроскопический подход указывает на возможность усиления приведенных вероятностей  $\alpha$ -переходов из компаунд-состояний на одно-, двухфонные состояния по сравнению с  $\alpha$ -переходом в основное состояние четно-четных ядер-продуктов <sup>/5/</sup>. В работах <sup>/1,2,3/</sup> на основе экспериментальных данных в разных интервалах энергии нейтронов было проведено прямое сравнение усредненных приведенных  $\alpha$ -ширин переходов на первое возбужденное /однофонное/ и основное состояния ядра <sup>144</sup>Nd в распаде компаунд-ядра <sup>148</sup>Sm. К сожалению, раньше не удавалось сделать определенного вывода из-за сложности учета погрешности отношения приведенных  $\alpha$ -ширин, обусловленной конечным числом резонансов в исследованных интервалах энергии.

Более определенный ответ на этот вопрос можно получить, сопоставляя экспериментальные отношения выходов  $\alpha$ -частиц реакции  $(n, \alpha)$  на различные конечные состояния с результатами расчета этой величины по методу Монте-Карло при использовании предположений статистической теории ядра. Такой подход впервые применялся в <sup>/6/</sup> для анализа реакции <sup>147</sup>Sm(n,  $\alpha$ ) <sup>144</sup>Nd в одном интервале энергии нейтронов. Настоящая работа подробно описывает этот метод и применяет его к статистическому анализу выхода  $\alpha$ -частиц из реакции <sup>147</sup>Sm(n,  $\alpha$ ) <sup>144</sup>Nd для всей совокупности экспериментальных данных.



## МЕТОД

Будем анализировать свойства выходов реакции  $(n, \alpha)$  в условиях, когда падающий пучок нейтронов обладает определенным разбросом по энергии. Под выходом данной реакции здесь подразумевается число зарегистрированных  $\alpha$ -частиц  $N_{\alpha f}$ , принадлежащих фиксированному  $\alpha$ -переходу на конечное состояние  $f$  дочернего ядра. Основной задачей описываемого метода является моделирование статистических свойств/флуктуаций/отношения двух выходов реакции  $N_{\alpha f}$  и  $N_{\alpha f'}$  для фиксированной пары конечных состояний  $f$  и  $f'$ . Обозначим это отношение как

$$R = N_{\alpha f} / N_{\alpha f'} \quad /1/$$

Если считать мишень тонкой,  $N_{\alpha f}$  можно выразить в виде зависимости

$$N_{\alpha f} = \int \sigma_{n, \alpha f}(E_n) \Phi(E_n) dE_n \quad /2/$$

Здесь  $\Phi(E_n)$  - поток нейтронов в интервале энергий  $E_n \div E_n + \Delta E_n$ , падающий на мишень,  $\sigma_{n, \alpha f}(E_n)$  - сечение реакции  $(n, \alpha)$  для перехода на конечное состояние  $f$  и  $\Delta E_n$  - исследуемый интервал энергии нейтронов.

Будем предполагать, что полная ширина нейтронных резонансов существенно меньше, чем среднее расстояние между резонансами, и что эта ширина на несколько порядков меньше, чем величина энергетического разброса падающего пучка нейтронов. В таких условиях можно пренебречь интерференционными эффектами в сечении  $\sigma_{n, \alpha f}$  и выход реакции  $N_{\alpha f}$  можно выразить в виде суммы вкладов отдельных резонансов

$$N_{\alpha f} = C \sum_J g_J \sum_{\lambda} \frac{\Gamma_{\lambda n}^{(J)} \Gamma_{\lambda \alpha f}^{(J)}}{E_{\lambda}^{(J)} \Gamma_{\lambda t}^{(J)}} \cdot \Phi(E_{\lambda}^{(J)}) \quad /3/$$

Резонансы здесь пронумерованы двумя независимыми индексами  $J, \lambda$ , где  $J$  - спин резонанса,  $\lambda$  - его порядковый номер. Величина  $g_J$  - спиновой фактор,  $\Gamma_{\lambda n}^{(J)}$  - нейтронная ширина резонанса,  $\Gamma_{\lambda \alpha f}^{(J)}$  - парциальная  $\alpha$ -ширина резонанса, соответствующая  $\alpha$ -переходу из резонанса  $J\lambda$  на конечное состояние  $f$  дочернего ядра,  $\Gamma_{\lambda t}^{(J)}$  - полная ширина резонанса и  $E_{\lambda}^{(J)}$  - его энергия. Константа  $C$  не зависит от выбора конечного уровня  $f$ .

Согласно статистической модели нейтронную ширину можно записать как

$$\Gamma_{\lambda n}^{(J)} = S_0 D_J (E_{\lambda}^{(J)})^{1/2} \cdot \xi_{\lambda}^{(J)}, \quad /4/$$

где  $\xi_{\lambda}^{(J)}$  является для каждого резонанса  $J\lambda$  независимой выборкой из статистического распределения  $\chi^2$  с числом степеней свободы  $\nu=1$ . Величина  $S_0$  - нейтронная силовая функция  $s$ -нейтронов и  $D_J$  - среднее расстояние между резонансами данного спина  $J$ .

Парциальные  $\alpha$ -ширины можно в рамках статистической модели представить следующим образом:

$$\Gamma_{\lambda \alpha f}^{(J)} = \frac{D_J}{2\pi} \sum_{\ell} P_{\ell}^{(J)} \eta_{\lambda \ell}^{(J)} \quad /5/$$

Здесь  $\ell$  - орбитальный момент  $\alpha$ -частицы и  $P_{\ell}^{(J)}$  - фактор проходимости  $\alpha$ -частицы с орбитальным моментом  $\ell$ , испускаемой из резонанса со спином  $J$  на конечное состояние  $f$ . Величина  $\eta_{\lambda \ell}^{(J)}$  является для каждой тройки  $J\lambda\ell$  опять независимой выборкой из распределения  $\chi^2$  с числом степеней свободы  $\nu=1$ .

Если пренебречь флуктуациями полной радиационной ширины и вкладом  $\alpha$ -ширин в полную ширину резонанса, то последнюю можно представить как сумму

$$\Gamma_{\lambda t}^{(J)} = \Gamma_{\gamma}^{(J)} + \Gamma_{\lambda n}^{(J)} \quad /6/$$

Очевидно, что полные ширины  $\Gamma_{\lambda t}^{(J)}$  будут в таком случае в определенной мере повторять флуктуации нейтронных ширин и будут поэтому частично компенсировать влияние флуктуации нейтронных ширин на выход реакции  $N_{\alpha f}$ .

В выражение для  $R$  входят кроме ширин  $\Gamma_{\lambda n}^{(J)}$ ,  $\Gamma_{\lambda t}^{(J)}$ ,  $\Gamma_{\lambda \alpha f}^{(J)}$  и  $\Gamma_{\lambda \alpha f'}^{(J)}$ , также и параметры  $E_{\lambda}^{(J)}$ , которые тоже имеют статистическую природу. Однако в реалистических условиях среднее расстояние  $D_J$  существенно меньше, чем энергетический разброс нейтронного пучка. По этой причине при моделировании флуктуаций величины  $R$  можно в качестве достаточно хорошего приближения пренебречь флуктуациями  $(E_{\lambda+1}^{(J)} - E_{\lambda}^{(J)})$  - расстоянием между резонансами и считать, что резонансы размещены по энергии эквидистантно.

Метод моделирования флуктуационных свойств отношения  $R$  заключается в "воспроизведении" распределения величины  $R$  в виде большой совокупности отдельных случайных значений  $R$ , генерированных методом Монте-Карло. Для получения каждого из значений  $R$  необходимо выполнить следующие шаги:

1. Генерировать наборы независимых случайных значений

$$\{\xi_{\lambda}^{(J)}\}, \quad \{\eta_{\lambda \ell}^{(J)}\} \quad \text{и} \quad \{\eta_{\lambda \ell}^{(J)'}\}.$$

2. На основании выражений /4/, /5/ и /6/ вычислить наборы ширин

$$\{\Gamma_{\lambda n}^{(J)}\}, \quad \{\Gamma_{\lambda t}^{(J)}\}, \quad \{\Gamma_{\lambda \alpha f}^{(J)}\} \quad \text{и} \quad \{\Gamma_{\lambda \alpha f'}^{(J)}\}.$$

3. Вычислить значение  $R$  согласно выражениям /1/ и /3/.

В целях проверки справедливости статистической модели для описания реакции  $(n, \alpha)$  распределение величины  $R$  следует сопоставлять с экспериментальным значением  $R_{\text{эксп}}$  этой величины.

## РЕЗУЛЬТАТЫ

Выходы  $\alpha$ -частиц в переходах составного ядра  $^{148}\text{Sm}$  на первое возбужденное ( $\alpha_1$ ) и основное ( $\alpha_0$ ) состояния дочернего ядра  $^{144}\text{Nd}$  были измерены в различных интервалах энергии возбуждения. В таблице 1 представлены результаты измерений по методу времени пролета на импульсном реакторе ИБР-30<sup>/1/</sup> и измерений на двух фильтрованных /скандием:  $\langle E_n \rangle = 2$  кэВ, и железом:  $\langle E_n \rangle = 24,5$  кэВ/ пучках нейтронов<sup>/2,3/</sup>. Здесь вместе с зарегистрированными числами  $\alpha$ -частиц переходов ( $N_{\alpha_0}, N_{\alpha_1}$ ) в соответствующих интервалах энергии нейтронов приведены полученные из них отношения интенсивностей  $\alpha_1$ -и  $\alpha_0$ -переходов:

$$R_{\text{эксп.}} = N_{\alpha_1} / N_{\alpha_0}$$

Были сделаны розыгрыши по методу Монте-Карло для получения распределения величины  $R$  - отношения выходов  $\alpha$ -частиц  $\alpha_1$ -и  $\alpha_0$ - переходов. При розыгрыше использовались следующие параметры для ядра-мишени  $^{147}\text{Sm}$ , которые взяты из компиляции<sup>/7/</sup>:

$$D_J = \frac{D_H}{g_J} \quad \left\{ \begin{array}{l} = 16,9 \text{ эВ} \text{ для резонанса со спином } 3^-, \\ = 13,2 \text{ эВ} \text{ для резонанса со спином } 4^-, \end{array} \right.$$

$$S_0 = 4,6 \cdot 10^{-4}$$

и  $\langle \Gamma_\gamma \rangle = 90 \text{ мэВ}^{10/}$ .

Фактор проницаемости для  $\alpha$ -частиц  $P_{\text{тл}}$  рассчитан по квазиклассическому подходу с потенциалом Иго<sup>/8/</sup>.

Используемые значения проницаемости приведены в таблице 2.

В случае импульсного реактора ИБР-30 пучок нейтронов можно описать энергетической зависимостью<sup>/9/</sup>:

$$\Phi(E_n) = \text{const} \cdot E_n^{-0,9}$$

Для Sc- и Fe-фильтров считалось, что энергетический спектр пучка нейтронов имеет форму распределения Гаусса со средним  $\langle E_n \rangle$  и шириной  $\Delta E_n$ .

Для Sc-фильтра:  $\langle E_n \rangle = 2$  кэВ,  $\Delta E_n = 0,6$  кэВ<sup>/2/</sup>.

Для Fe-фильтра:  $\langle E_n \rangle = 24,5$  кэВ,  $\Delta E_n = 2,0$  кэВ<sup>/3/</sup>.

Результаты розыгрыша показаны на рис. 1,2 и в табл. 1 в указанных интервалах энергий нейтронов соответственно. На рисунках рядом с кривыми представлены экспериментальные значения  $R_{\text{эксп.}}$  с их ошибкой. А в табл. 1 приведены средние значения  $\langle R \rangle$  величины  $R$  и среднеквадратичные отклонения ( $\sigma$ ) этой величины. В таблице также приведен параметр  $P(R < R_{\text{эксп.}})$  - статистическая достоверность, в рамках которой можно отбросить предположение о справедливости статистической теории. Этот параметр был получен с учетом экспериментальной погрешности.

Таблица 1

Измерение	$E_n$ (кэВ)	$N_{\alpha_0}$	$N_{\alpha_1}$	$R_{\text{эксп}}$	$\langle R \rangle$	$\sigma$	$P(R < R_{\text{эксп}})$
Метод времени пролета <sup>/1/</sup>	0,25±0,5	56±8	48±7	0,86±0,18	0,45	0,20	0,93
	0,7±1,5	140±20	110±20	0,79±0,18	0,51	0,15	0,89
	1,5±3,3	87±12	64±12	0,74±0,17	0,51	0,10	0,88
	3,3±8,5	70±11	55±11	0,79±0,20	0,50	0,06	0,92
Sc-фильтр <sup>/2/</sup>	1,7±2,3	4410±79	2694±68	0,61±0,02	0,51	0,10	0,84
Fe-фильтр <sup>/3/</sup>	23,5±25,5	176±19	108±21	0,61±0,14	0,50	0,06	0,76

Таблица 2

$J$	$I_{\pi}^{\pi}$	$E_{\alpha_i}$ (МэВ)	$\ell$	$P_{se}$
$3^-$	$0^+$	9,842 ( $\alpha_0$ )	3	$1,462 \cdot 10^{-6}$
	$2^+$	9,146 ( $\alpha_1$ )	1	$3,299 \cdot 10^{-7}$
			3	$1,286 \cdot 10^{-7}$
$4^-$	$4^+$	8,528 ( $\alpha_2$ )	5	$0,241 \cdot 10^{-7}$
			7	$0,176 \cdot 10^{-9}$
			3	$0,294 \cdot 10^{-7}$
$4^-$	$4^+$	8,528 ( $\alpha_2$ )	5	$0,200 \cdot 10^{-8}$
			7	$0,176 \cdot 10^{-9}$

Из результатов, приведенных в табл. 1, сразу видно, что экспериментальные значения  $R_{\text{эксп}}$  во всех случаях превышают значения, ожидаемые на основании статистической теории  $\alpha$ -распада. Однако отдельные значения  $P(R < R_{\text{эксп}})$  ни в одном случае не позволяют отбросить гипотезу справедливости статистической теории на достаточно высоком уровне достоверности. Для получения общего вывода поэтому необходимо объединить результаты из отдельных энергетических интервалов. С этой целью можно использовать метод экстремальной статистики. В качестве нулевой гипотезы примем статистическую теорию  $\alpha$ -распада. В рамках справедливости этой гипотезы значения  $P(R < R_{\text{эксп}})$  для  $n$  отдельных интервалов энергии должны вести себя как случайные и независимые выборки из равномерного распределения на интервале  $/0;1/$ . Нетрудно показать, что минимальное из значений  $P(R < R_{\text{эксп}})$ , обозначенных дальше как  $x$ , в таком случае будет описываться распределением

$$dP = n(1-x)^{n-1} dx.$$

/7/

Если в качестве набора значений  $P(R < R_{\text{эксп}})$  взять все значения, приведенные в табл. 1, за исключением того, которое отно-

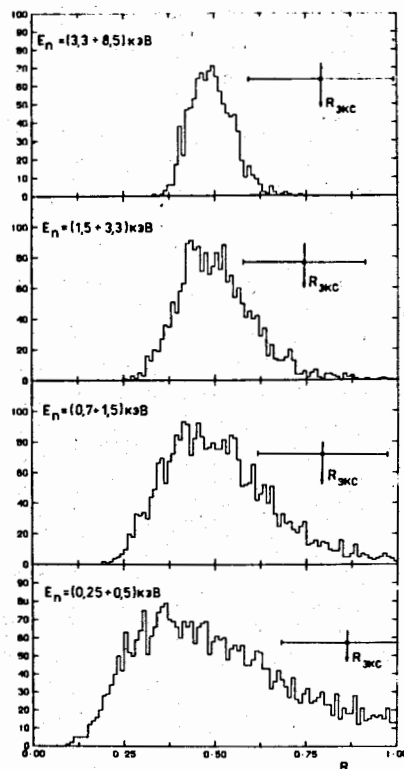


Рис. 1. Результаты розыгрыша по методу Монте-Карло отношения выходов  $\alpha$ -частиц в  $\alpha_1$ - и  $\alpha_0$ -переходах  $R = N_{\alpha_1} / N_{\alpha_0}$  в указанных интервалах энергии нейтронов. Интервал энергии нейтронов и соответствующее экспериментальное значение  $R_{\text{экс}}$  были получены методом времени пролета на реакторе ИБР-30.

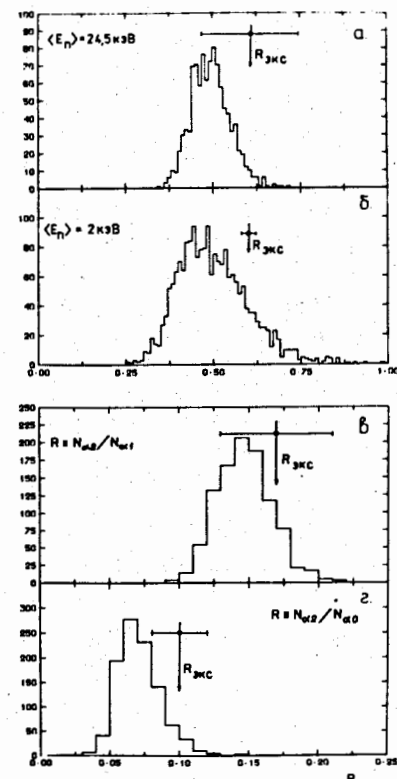


Рис. 2. Распределения величины  $R$ , полученные при отфильтрованных пучках нейтронов. а - для Fe-фильтра, б - для Sc-фильтра, в и г - распределения величин  $R = N_{\alpha_2} / N_{\alpha_1}$  и  $R = N_{\alpha_2} / N_{\alpha_0}$ , полученные при Sc-фильтре.

сится к Sc-фильтру\*, то для минимального значения будем иметь  $x = 0,76$ . В таком случае применение распределения /7/ приводит

\* Данные, относящиеся к Sc-фильтру, исключались из дальнейшего анализа из-за того, что энергетический интервал перекрывается с другими исследованными интервалами.

к выводу, что вероятность наблюдения этого значения /для  $n=5$ / равна лишь 0,08%. Таким образом, гипотезу справедливости статистической теории можно отбросить на уровне достоверности 99,92%.

Здесь следует отметить, что при использовании отфильтрованного железом пучка нейтронов / $\langle E_n \rangle = 24,5$  кэВ/  $p$ -нейтроны могут давать вклад в выход  $\alpha$ -частиц реакции. Однако согласно статистической теории отношения суммарных значений проникаемости  $\alpha$ -частиц, испускаемых из  $s$ - и  $p$ -резонансов, одинаковы /с точностью 7%/ для  $\alpha_1$ - и  $\alpha_0$ -переходов. Поэтому вклад  $p$ -нейтронов не существенно влияет на значение  $R$ , рассмотренное только для случая реакции на  $s$ -нейтронах.

Сравнения интенсивностей  $\alpha$ -переходов на второе возбужденное состояние ( $\alpha_2$ ) ядра  $^{144}\text{Nd}$  с интенсивностями переходов на первое и основное состояния были проведены пока только в измерении с  $\text{Sc}$ -фильтром<sup>2</sup>. Результаты эксперимента и розыгрыша показаны на рис. 2в и 2г и представлены в табл. 3.

В результате настоящий анализ показывает, что в эксперименте<sup>1,2,3</sup> были обнаружены усиления  $\alpha$ -переходов в распаде составного ядра  $^{148}\text{Sm}$  на первое и второе возбужденное состояние по сравнению с переходом в основное дочернего ядра  $^{144}\text{Nd}$ . Эти усиления невелики, по-видимому, не превышают двукратного. Наши результаты также указывают на то, что если и существует усиление  $\alpha$ -перехода на второе по сравнению с переходом на первое возбужденное состояние, то оно совсем слабое.

Здесь хотелось бы отметить, что к настоящему времени проверка справедливости статистической теории и выводов полумикроскопического подхода о соотношении  $\alpha$ -переходов компаунд-ядра на различные конечные состояния дочернего ядра проводилась пока только на одном ядре -  $^{148}\text{Sm}$ . Для получения общности вывода необходимо исследование на других ядрах, в частности, в случае, когда дочерние ядра являются деформированными, их возбужденные состояния имеют сложную природу.

Авторы благодарны П.Земану за построение гистограмм.

Таблица 3

Отношение	$R_{\text{экс.}}$	$\langle R \rangle$	$\sigma$	$P(R < R_{\text{экс.}})$
$N_{\alpha_2} / N_{\alpha_0}$	0,10 $\pm$ 0,02	0,076	0,015	0,78
$N_{\alpha_2} / N_{\alpha_1}$	0,17 $\pm$ 0,04	0,152	0,020	0,62

#### ЛИТЕРАТУРА

1. Во Ким Тхань и др. ОИЯИ, РЗ-12756, Дубна, 1979.
2. Анджеевски Ю. и др. ОИЯИ, РЗ-80-779, Дубна, 1980.
3. Анджеевски Ю. и др. ОИЯИ, РЗ-13013, Дубна, 1980.
4. Блатт Дж., Вайскопф В. Теоретическая ядерная физика, ИЛ, М., 1954.
5. Соловьев В.Г. ЯФ, 1971, т. 13, с. 48; ЭЧАЯ, 1972, т.3, вып. 4, с. 770.
6. Kvittek J. et al. Z.Physik, 1980, A294, p. 197-198.
7. Mughabghab S.F., Garber D.I. Neutron Cross Section, BNL-325, Third edition, vol.1, 1973.
8. Igo G. Phys.Rev.Lett., 1958, v.1, p.72.
9. Голиков В.В. и др. ОИЯИ, 3-5736, Дубна, 1971.
10. Попов А.Б., Тщецяк К., Хван Чер Гу. ЯФ, 1980, т. 32, вып. 3, с. 603.

Рукопись поступила в издательский отдел  
26 февраля 1981 года.